

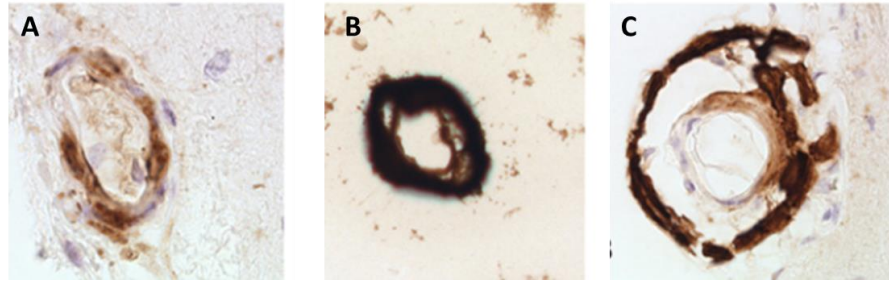
Asociación de variantes genéticas y niveles circulantes de ApoE/ApoJ con características de neuroimagen de la Angiopatía Amiloide Cerebral

ANNA BONATERRA PASTRA

Neurovascular Research Lab
Vall d'Hebron Institut de Recerca (VHIR),
Barcelona

08/05/2023 - RICORS

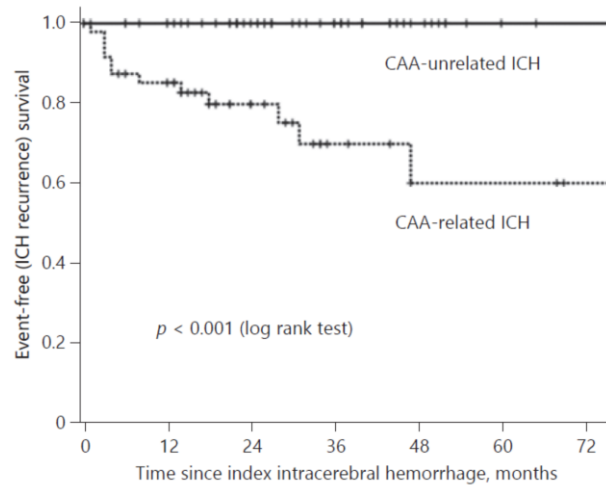
Angiopatía Amiloide Cerebral (AAC)



Charidimou et al., 2012

Depósitos de Aβ en las paredes de los vasos sanguíneos del SNC.

Hemorragia Intracerebral (HIC) lobar / subaracnoidea



Pinho et al., 2021

Recurrencia de HIC

Charidimou et al., 2017

Episodios neurológicos focales transitorios

Motores

Somatosensoriales

Visuales

Del lenguaje

Smith et al., 2021

Deterioro cognitivo / Demencia

Pérdida de función cognitiva

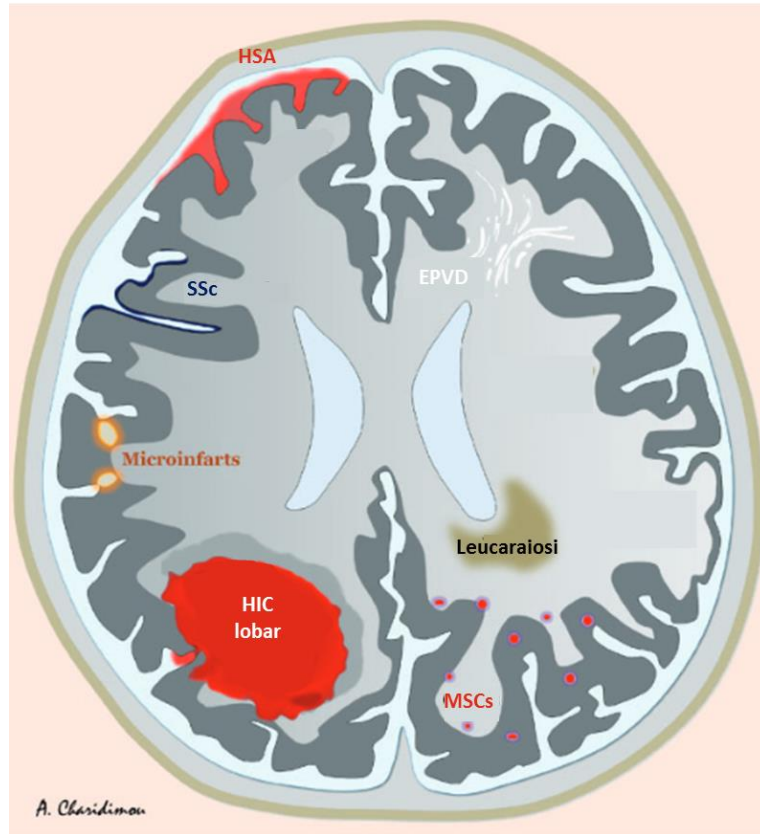
Deterioro de memoria episódica

Menor velocidad de percepción

Boyle et al., 2015



Marcadores de resonancia magnética de la AAC



A. Charidimou

Charidimou et al., 2017

CAA-SVDB

Escala 0-6 puntos:

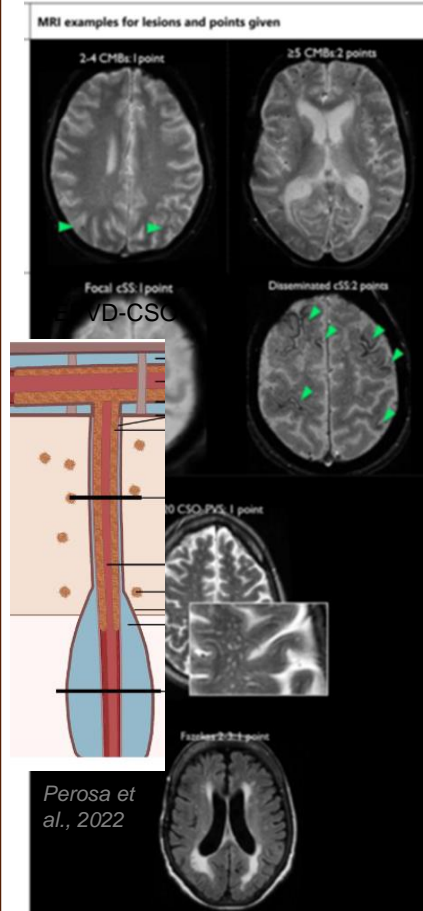
LESIONES HEMORRAGICAS

- **Microsangrados lobares:**
1 punto : 2-4
2 puntos : >5
- **Sangrados corticales (MSCs) o lobares**
- **Siderosis superficial cortical (SSc)**
1 punto : focal
2 puntos : diseminada

LESIONES NO HEMORRAGICAS

Leucaraiosis o lesiones de sustancia blanca

- **Espacios perivasculares dilatados (EPVD) en el Centrum Semiovale (CSO)**
1 punto : >20
- **Lesiones de la sustancia blanca (LSB) o leucaraiosis:**
1 punto: profundas (Fazekas 2-3) o periventriculares (Fazekas 3)

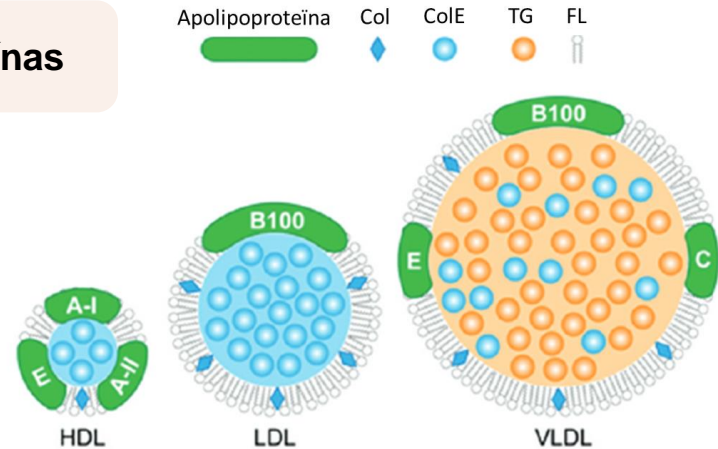


Perosa et al., 2022

Charidimou et al., 2016

Metabolismo lipídico

Lipoproteínas



Bricarello et al., 2011

Hemorragia intracerebral



Apolipoproteínas

ApoE

APOEε2

Protector para la **Enfermedad de Alzheimer (EA)** y de riesgo para una HIC asociada a la **AAC** *Corder et al., 1994; Greenberg et al., 1998.*

APOEε3

APOEε4

Principal factor de riesgo genético para la **EA** y la **AAC** esporádica *Schmechel et al., 1193; Greenberg et al., 1996*



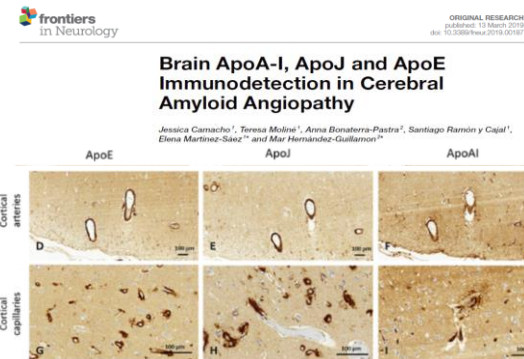
Apolipoproteínas

ApoE

- Involucrada en la agregación y aclaramiento de A β *DeMattos et al., 2004; Bales et al., 1997, Holtzman et al., 1999; Deane et al., 2008.*
- Codeposita con A β cerebrovascular y parenquimatoso *Hondius et al., 2018.*



Otras apolipoproteínas involucradas en la β -amiloidosis cerebral



Camacho et al., 2019

ApoJ

- Codeposita con A β cerebrovascular y parenquimatoso *Matsubara et al., 1996; Lidstrom et al., 1998; Howlett et al., 2013; Manousopoulou et al., 2017; Miners et al., 2017; Hondius et al., 2018; Camacho et al., 2019.*
- Variantes genéticas de CLU son factores de riesgo o protectores para la Enfermedad de Alzheimer *Harold et al., 2009; Lambert, 2013.*
- Chaperona que puede prevenir la fibrillogénesis de A β y su toxicidad *in vitro* *Beef et al., 2016; Yerbury et al., 2007.*
- Aumentar los niveles de ApoJ *in vivo* tiene un efecto modulador de los niveles de A β *Wojtas et al., 2020; Qi et al., 2018; Montoliu-Gaya et al., 2018; Chen et al., 2012; Fernandez-de retana et al., 2018.*





Association of candidate genetic variants and circulating levels of ApoE/ApoJ with common neuroimaging features of Cerebral Amyloid Angiopathy

Anna Bonaterra-Pastra¹, Sònia Benítez^{2,3}, Olalla Pancorbo⁴, David Rodríguez-Luna⁴, Carla Vert⁵, Alex Rovira⁵, M. Mar Freijo⁶, Silvia Tur⁷, Maite Martínez-Zabaleta⁸, Pere Cardona Portela⁹, Rocío Vera¹⁰, Lucía Lebrato-Hernández¹¹, Juan F. Arenillas^{12,13}, Soledad Pérez-Sánchez¹⁴, Ana Domínguez-Mayoral¹⁴, Joan Martí Fàbregas¹⁵, Gerard Mauri¹⁶, Joan Montaner^{1,17,18}, Jose Luis Sánchez-Quesada^{2,3}* and Mar Hernández-Guillamon¹*

Frontiers in Aging Neuroscience (2023) – doi:10.3389/fnagi.2023.1134399

Objetivo

Identificar posibles asociaciones entre marcadores genéticos candidatos y la distribución de ApoJ y ApoE en lipoproteínas plasmáticas con características radiológicas características de la AAC detectadas por RM en una cohorte de pacientes con HIC lobar.

Hipótesis: Variantes genéticas asociadas con la **Enfermedad de Alzheimer** podrían estar asociadas con marcadores de AAC



HIC-AAC

Common variants in ABCA7, MS4A6A/MS4A4E, EPHA1, CD33 and CD2AP are associated with Alzheimer's disease

Nat Genet. 2011 May ; 43(5): 429–435. doi:10.1038/ng.803.

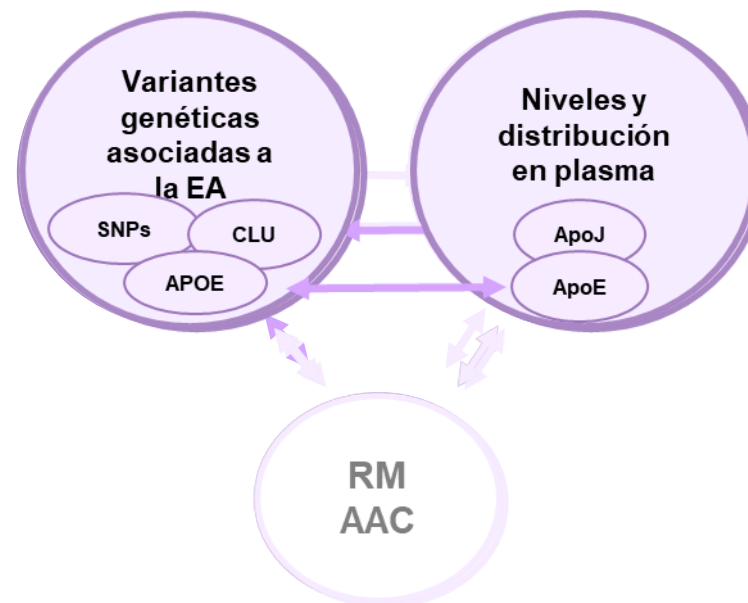
Common variants in MS4A4/MS4A6E, CD2uAP, CD33, and EPHA1 are associated with late-onset Alzheimer's disease

Nat Genet. 2011 May ; 43(5): 436–441. doi:10.1038/ng.801.

Meta-analysis of 74,046 individuals identifies 11 new susceptibility loci for Alzheimer's disease

Nat Genet. 2013 December ; 45(12): 1452–1458. doi:10.1038/ng.2802.

SNPs a 15 genes





Población de estudio

Criterios de inclusión

- ≥ 55 años
- Al menos 1 HIC lobar
- Disponibilidad de RM o muestra histopatológica cerebral
- Consentimiento informado

Criterios de exclusión

- HIC profunda
- Tratamiento anticoagulante

- Hospital Universitari Vall d'Hebron, Barcelona
- Hospital Universitari Son Espasses, Iles Balears
- Hospital Universitario Donostia, Guipúscoa
- Hospital Universitario de Cruces. Bizkaia
- Hospital Universitari de Bellvitge, Barcelona
- Hospital Universitario Ramón y Cajal, Madrid
- Hospital Universitario Virgen del Rocío, Sevilla
- Hospital Clínico Universitario, Valladolid
- Hospital Universitario Virgen Macarena, Sevilla
- Hospital de la Santa Creu i Sant Pau, Barcelona
- Hospital Universitari Arnau de Vilanova de Lleida, Lleida

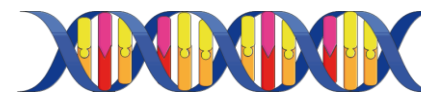
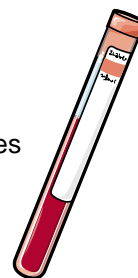


ICH-CAA patients (n=126)

Age, years	76.21 \pm 7.110
Sex (Females)	68 (54%)
HTA	72 (60%)
DM	18 (15.7%)
DL	38 (37.6%)
Cognitive impairment	56 (49.6%)
Corticosubcortical ICH	125 (99.2%)
>2	13 (10.4%)
>3	6 (4.8%)
ICH Recurrence	20 (17.7 %)

Table 1. Demographic and clinical characteristics. Data are expressed as n (%). ICH: Intracerebral Hemorrhage; HT: Hypertension; DM: Diabetes Mellitus; DL: Dyslipidemia.

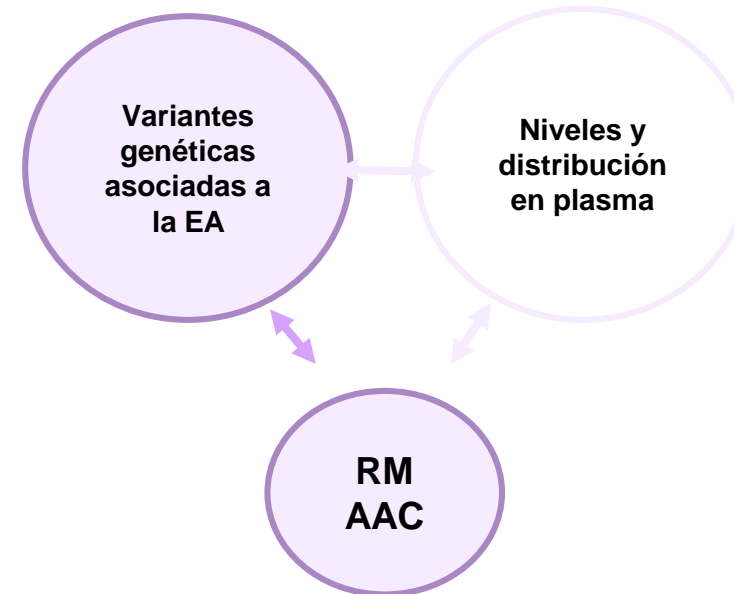
10.42 \pm
16.77 meses



6.70 \pm 16.79 meses

Características radiológicas

RMN (n=118)	
cSS	50 (42.4%)
Focal	15 (30%)
Disseminated	35 (70%)
EPVS	109 (92.4%)
BG-EPVS	106 (97.25%)
Low degree (1-20)	85 (80.2%)
High degree (21->40)	21 (19.8%)
CSO-EPVS	88 (80.7%)
Low degree (1-20)	45 (51.1%)
High degree (21->40)	43 (48.9%)
CMB	73 (61.9%)
Lobar CMB	69 (94.52%)
1-5	25 (36.23%)
6-10	12 (17.39%)
11-20	7 (10.14%)
>20	25 (36.23%)
Deep CMB	14 (19.18%)
1 - 5	12 (85.7%)
6 - 10	1 (7.1%)
11 - 20	1 (7.1%)
>20	0 (0%)
Cerebellum CMB	15 (20.5%)
1 - 5	12 (80%)
6 - 10	3 (20%)
11 - 20	0 (0%)
>20	0 (0%)
WMH	108 (91.5%)
Periventricular	97 (89.8%)
Caps or pencil/thin lining (1)	24 (24.7%)
Smooth halo or irregular periventricular (2-3)	73 (75.3%)
Deep	98 (90.7%)
Punctate foci (1)	43 (43.9%)
Beginning or large confluent areas (2-3)	55 (56.1%)
Cortico-subcortical atrophy	44 (37.3%)
Mild	29 (65.9%)
Moderate	13 (29.5%)
Severe	2 (4.5%)



Asociaciones genéticas



HIC-AAC

	Genetic and clinical variables	Common dominant model		Additive model	
		OR (95% CI)	p-value	OR (95% CI)	p-value
cSS	CLU rs9331888 (G allele, MA)	2.490 (1.175 – 5.278)	0.017	1.889 (1.033 – 3.454)	0.039
cSS extent	CD2AP rs10948363 (G allele, MA)	0.188 (0.042 – 0.836)	0.028	–	–
	CD2AP rs9349407 (C allele, MA)	–	–	0.150 (0.039 – 0.581)	0.006
	CLU rs11136000 (T allele, MA)	6.722 (1.500 – 30.127)	0.013	8.264 (1.698 – 40.000)	0.009
CSO-EPVS	–	–	–	–	–
High degree CSO-EPVS	CLU rs7012010 (C allele, MA)	2.370 (1.073 – 5.237)	0.033	1.935 (1.082 – 3.462)	0.026
BG-EPVS	–	–	–	–	–
High degree BG-EPVS	CD33 rs3865444 (A allele, MA)	–	–	3.333 (1.437 – 7.752)	0.005
Lobar CMB	ABCA7 rs3764650 (G allele, MA)	0.313 (0.126 – 0.778)	0.012	0.290 (0.115 – 0.728)	0.008
	CLU rs7012010 (C allele, MA)	2.185 (1.006 – 4.749)	0.048	1.853 (1.016 – 3.378)	0.044
Lobar CMB >5	ABCA7 rs3764650 (G allele, MA)	0.323 (0.110 – 0.945)	0.039	–	–
	CLU rs11136000 (T allele, MA)	–	–	0.503 (0.278 – 0.911)	0.023
	TREML2 rs3747742 (C allele, MA)	2.306 (1.44 – 5.092)	0.039	1.918 (1.095 – 3.362)	0.023
High deep WMH burden	CR1 rs6701713 (A allele, MA)	0.420 (0.177 – 0.994)	0.048	0.419 (0.191 – 0.919)	0.030
	CLU rs9331888 (G allele, MA)	3.054 (1.404 – 6.642)	0.005	2.351 (1.234 – 4.478)	0.009
High periventricular WMH burden	CLU rs9331888 (G allele, MA)	2.673 (1.211 – 5.897)	0.015	–	–
	CLU rs9331896 (C allele, MA)	–	–	0.478 (0.270 – 0.848)	0.012
Atrophy	BIN1 rs6733839 (T allele, MA)	0.307 (0.132 – 0.715)	0.002	0.457 (0.237 – 0.881)	0.019
	CD2AP rs10948363 (G allele, MA)	0.257 (0.111 – 0.595)	0.006	0.359 (0.170 – 0.755)	0.007
	CLU rs7012010 (C allele, MA)	–	–	2.101 (1.125 – 3.924)	0.020
CAA-Small vessel disease burden score	ABCA7 rs3764650 (G allele, MA)	0.261 (0.096 – 0.711)	0.009	0.284 (0.105 – 0.764)	0.013
	CLU rs9331896 (C allele, MA)	–	–	0.470 (0.251 – 0.879)	0.018
	CLU rs9331888 (G allele, MA)	2.921 (1.246 – 6.851)	0.014	–	–
	EPHA1 rs11767557 (C allele, MA)	0.285 (0.109 – 0.744)	0.010	0.288 (0.118 – 0.698)	0.006
	TREML2 rs3747742 (C allele, MA)	2.787 (1.184 – 6.650)	0.019	1.963 (1.055 – 3.652)	0.033

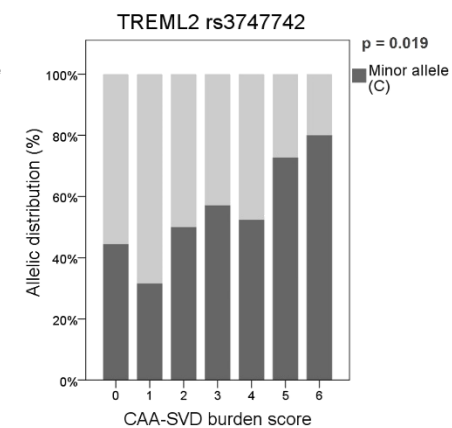
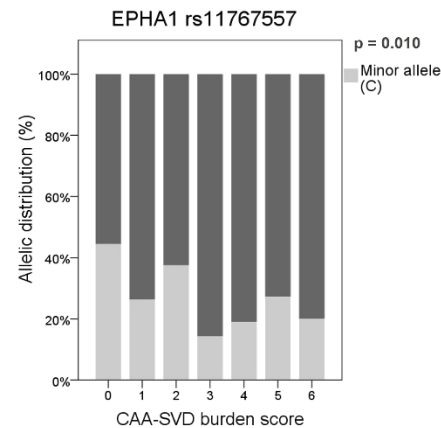
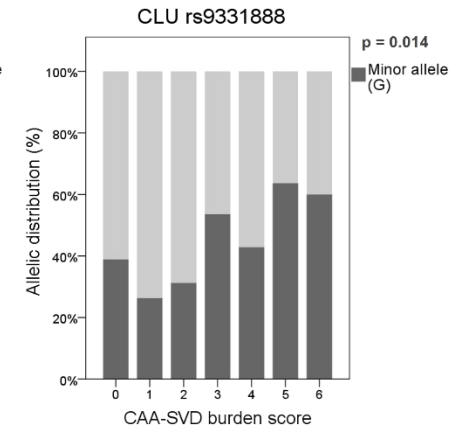
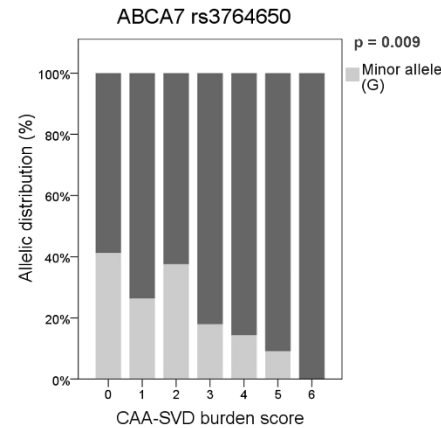
Binary logistic regression for CAA MRI markers with SNPs minor alleles adjusting by sex and age. cSS: cortical Superficial Siderosis; EPVS: Enlarged Perivascular Spaces; CSO: Centrum Semiovale; CMB: Cerebral Microbleeds; WMH: White Matter Hyperintensity. OR: Odds Ratio. CI: Confidence Interval. MA: Minor allele.

CAA-SVDB



CAA-Small vessel disease burden score	ABCA7 rs3764650 (G allele, MA)	0.261 (0.096 – 0.711)	0.009	0.284 (0.105 – 0.764)	0.013
	CLU rs9331896 (C allele, MA)	–	–	0.470 (0.251 – 0.879)	0.018
	CLU rs9331888 (G allele, MA)	2.921 (1.246 – 6.851)	0.014	–	–
	EPHA1 rs11767557 (C allele, MA)	0.285 (0.109 – 0.744)	0.010	0.288 (0.118 – 0.698)	0.006
	TREML2 rs3747742 (C allele, MA)	2.787 (1.184 – 6.650)	0.019	1.963 (1.055 – 3.652)	0.033

CAA-SVDB	n (%)
0	18 (15.3%)
1	19 (16.1%)
2	16 (13.6%)
3	28 (23.7%)
4	21 (17.8%)
5	11 (9.3%)
6	5 (4.2%)



Alelo protector
 Alelo de riesgo

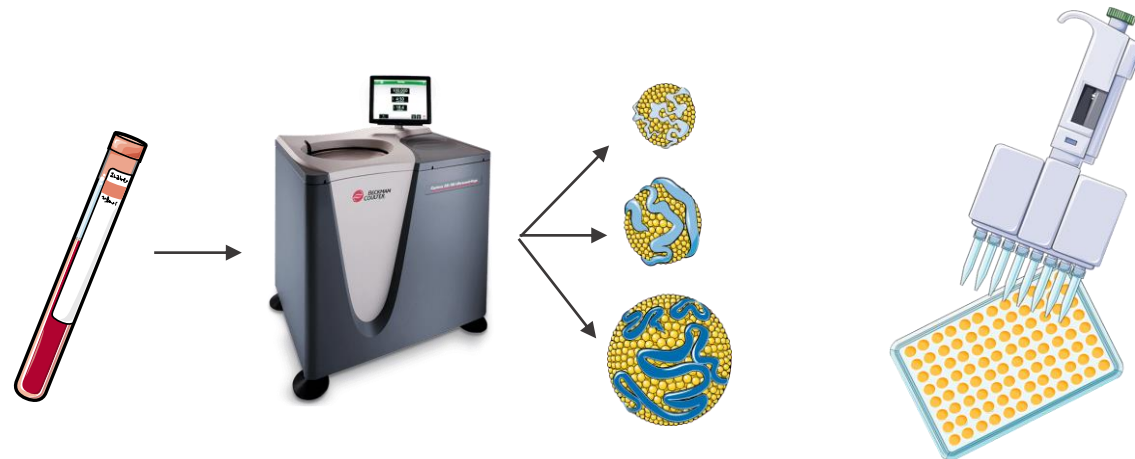
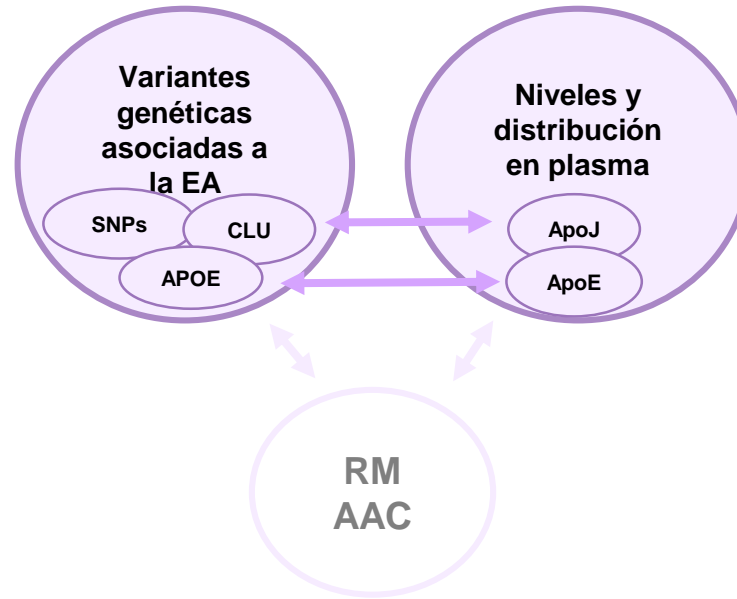
Asociaciones genéticas



HIC-AAC

	Genetic and clinical variables	Common dominant model		Additive model	
		OR (95% CI)	p-value	OR (95% CI)	p-value
cSS	CLU rs9331888 (G allele, MA)	2.490 (1.175 – 5.278)	0.017	1.889 (1.033 – 3.454)	0.039
cSS extent	CD2AP rs10948363 (G allele, MA)	0.188 (0.042 – 0.836)	0.028	–	–
	CD2AP rs9349407 (C allele, MA)	–	–	0.150 (0.039 – 0.581)	0.006
	CLU rs11136000 (T allele, MA)	6.722 (1.500 – 30.127)	0.013	8.264 (1.698 – 40.000)	0.009
CSO-EPVS	–	–	–	–	–
High degree CSO-EPVS	CLU rs7012010 (C allele, MA)	2.370 (1.073 – 5.237)	0.033	1.935 (1.082 – 3.462)	0.026
BG-EPVS	–	–	–	–	–
High degree BG-EPVS	CD33 rs3865444 (A allele, MA)	–	–	3.333 (1.437 – 7.752)	0.005
Lobar CMB	ABCA7 rs3764650 (G allele, MA)	0.313 (0.126 – 0.778)	0.012	0.290 (0.115 – 0.728)	0.008
	CLU rs7012010 (C allele, MA)	2.185 (1.006 – 4.749)	0.048	1.853 (1.016 – 3.378)	0.044
Lobar CMB >5	ABCA7 rs3764650 (G allele, MA)	0.323 (0.110 – 0.945)	0.039	–	–
	CLU rs11136000 (T allele, MA)	–	–	0.503 (0.278 – 0.911)	0.023
High deep WMH burden	TREML2 rs3747742 (C allele, MA)	2.306 (1.44 – 5.092)	0.039	1.918 (1.095 – 3.362)	0.023
	CR1 rs6701713 (A allele, MA)	0.420 (0.177 – 0.994)	0.048	0.419 (0.191 – 0.919)	0.030
High periventricular WMH burden	CLU rs9331888 (G allele, MA)	3.054 (1.404 – 6.642)	0.005	2.351 (1.234 – 4.478)	0.009
	CLU rs9331888 (G allele, MA)	2.673 (1.211 – 5.897)	0.015	–	–
Atrophy	CLU rs9331896 (C allele, MA)	–	–	0.478 (0.270 – 0.848)	0.012
	BIN1 rs6733839 (T allele, MA)	0.307 (0.132 – 0.715)	0.002	0.457 (0.237 – 0.881)	0.019
CAA-Small vessel disease burden score	CD2AP rs10948363 (G allele, MA)	0.257 (0.111 – 0.595)	0.006	0.359 (0.170 – 0.755)	0.007
	CLU rs7012010 (C allele, MA)	–	–	2.101 (1.125 – 3.924)	0.020
	ABCA7 rs3764650 (G allele, MA)	0.261 (0.096 – 0.711)	0.009	0.284 (0.105 – 0.764)	0.013
	CLU rs9331896 (C allele, MA)	–	–	0.470 (0.251 – 0.879)	0.018
	CLU rs9331888 (G allele, MA)	2.921 (1.246 – 6.851)	0.014	–	–
	EPHA1 rs11767557 (C allele, MA)	0.285 (0.109 – 0.744)	0.010	0.288 (0.118 – 0.698)	0.006
	TREML2 rs3747742 (C allele, MA)	2.787 (1.184 – 6.650)	0.019	1.963 (1.055 – 3.652)	0.033

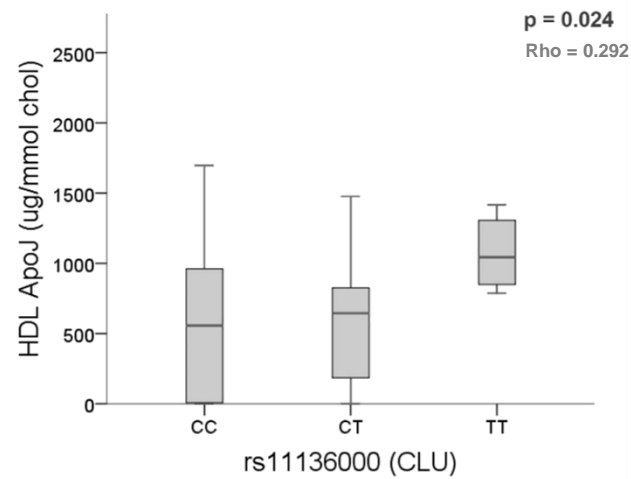
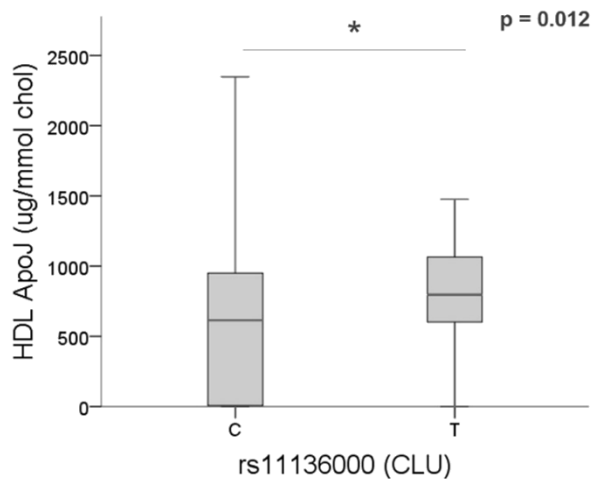
Binary logistic regression for CAA MRI markers with SNPs minor alleles adjusting by sex and age. cSS: cortical Superficial Siderosis; EPVS: Enlarged Perivascular Spaces; CSO: Centrum Semiovale; CMB: Cerebral Microbleeds; WMH: White Matter Hyperintensity. OR: Odds Ratio. CI: Confidence Interval. MA: Minor allele.



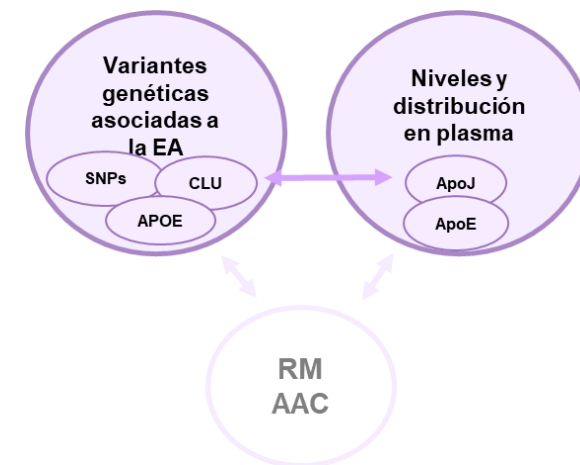
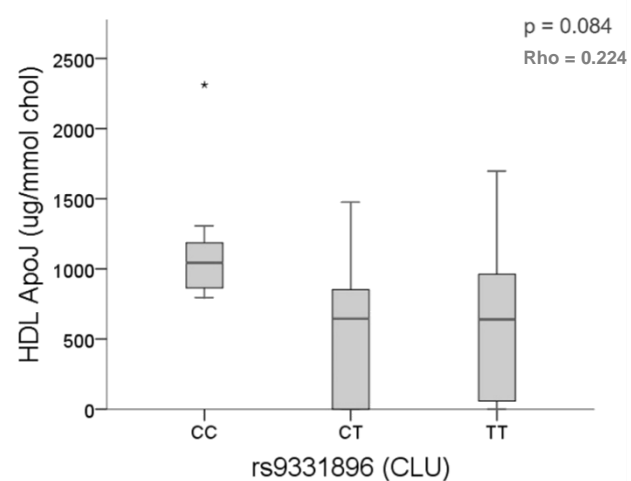
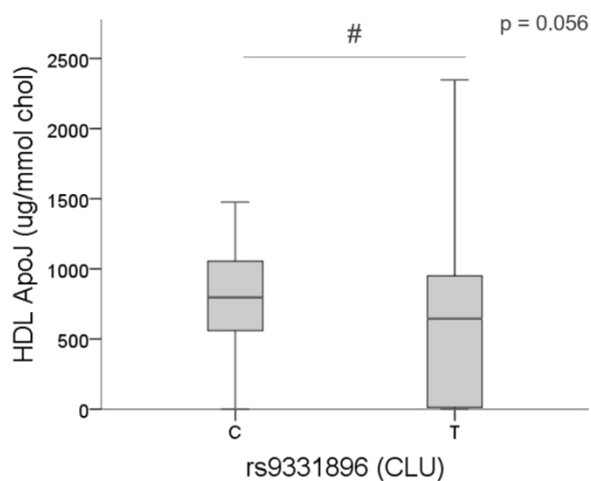
Relación entre CLU y niveles y distribución de ApoJ en plasma



rs11136000 (T)
protector



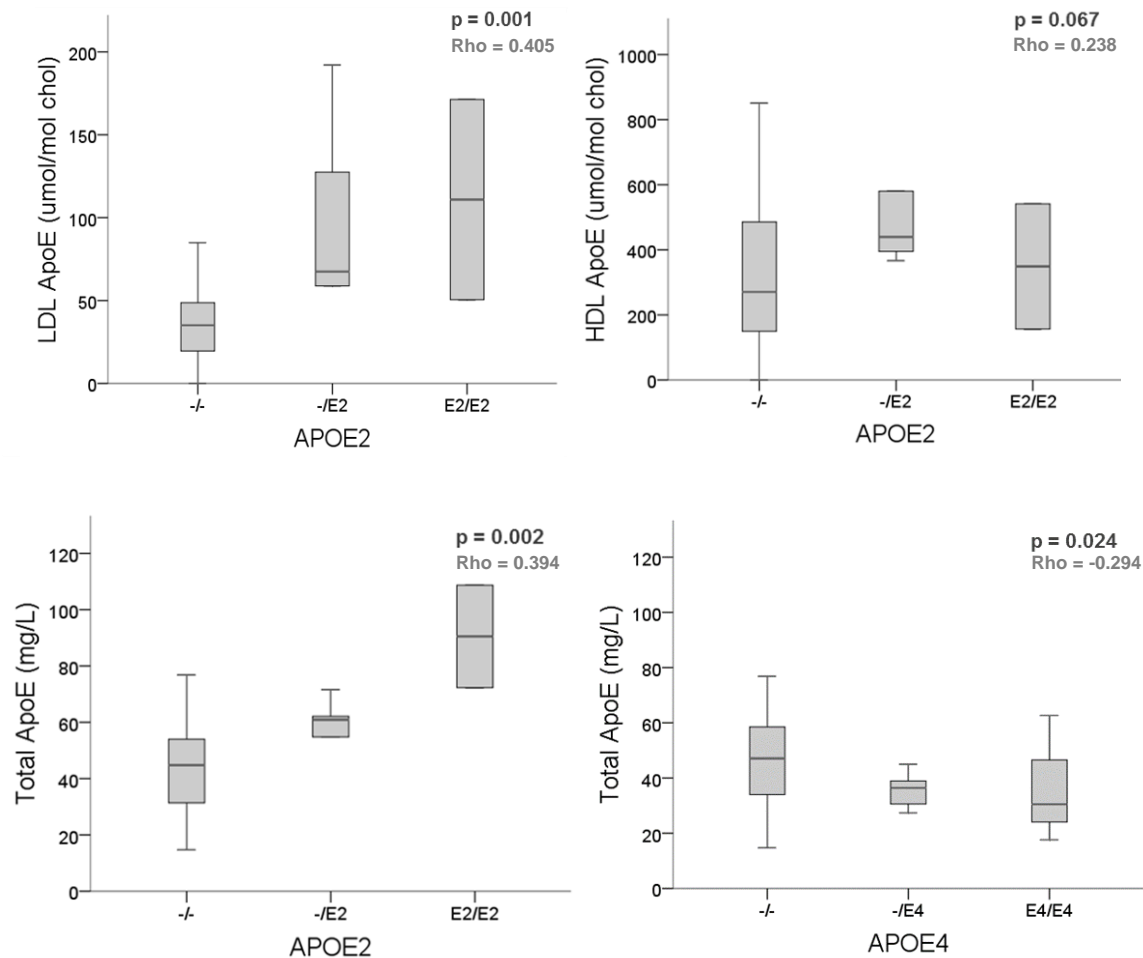
rs9331896 (C)
protector



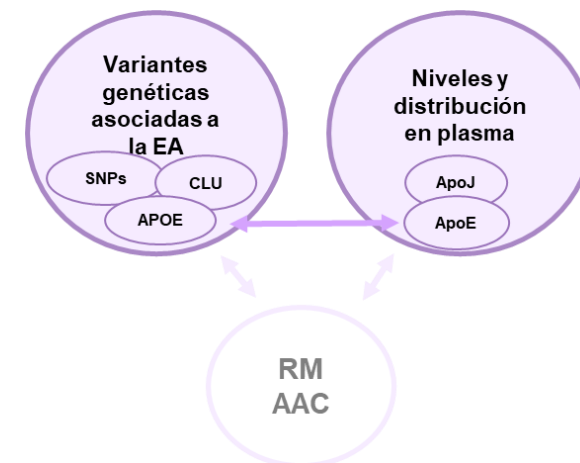
Relación entre APOE y niveles y distribución de ApoE en plasma



APOEε2



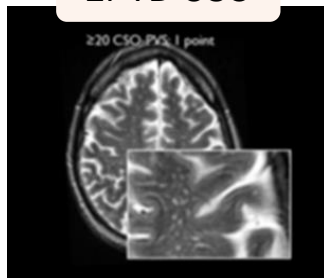
APOEε4



Niveles de ApoJ circulante y marcadores de RM

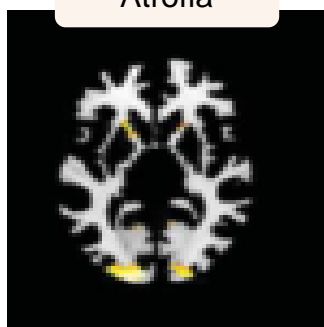


EPVD-CSO

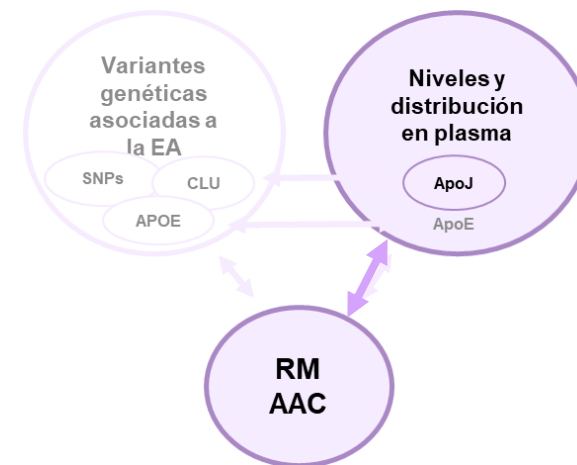
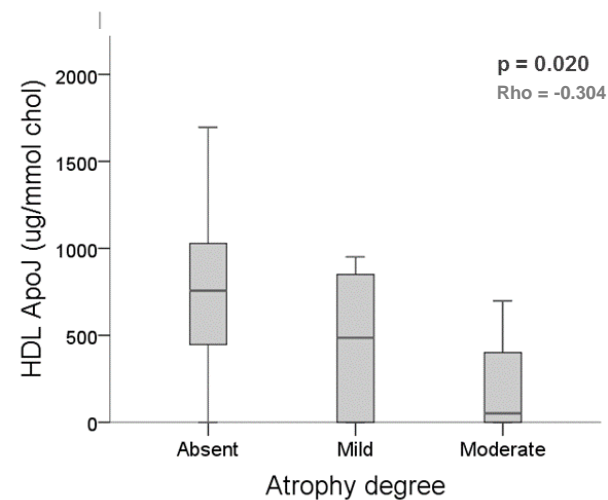
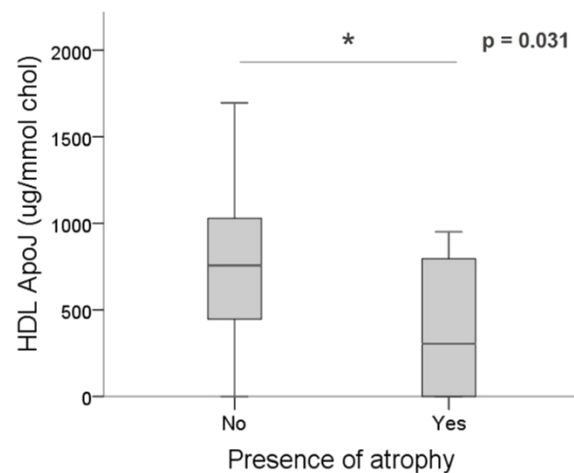
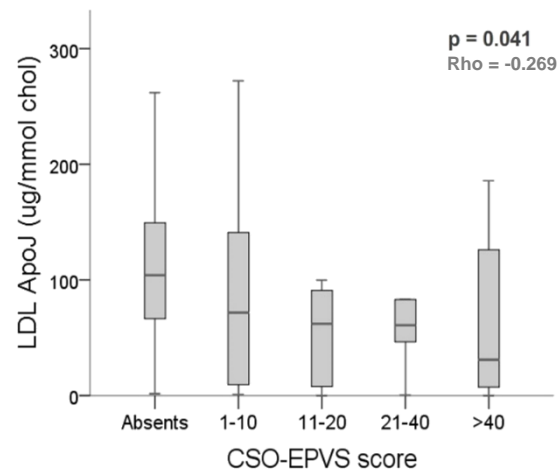
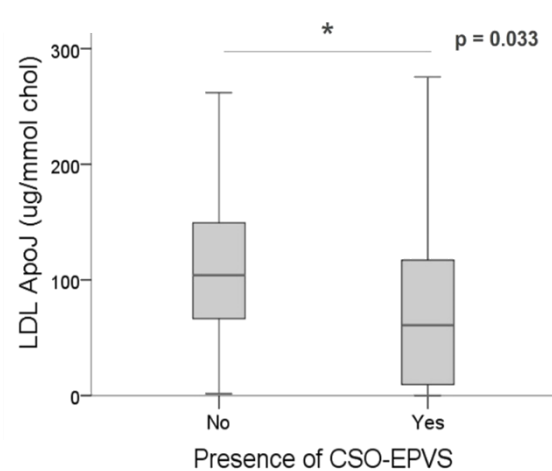


Charidimou et al., 2016

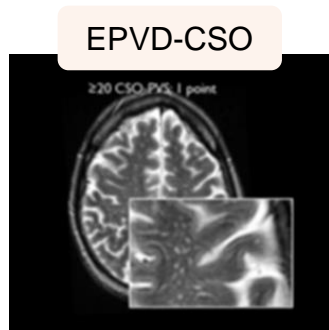
Atrofia



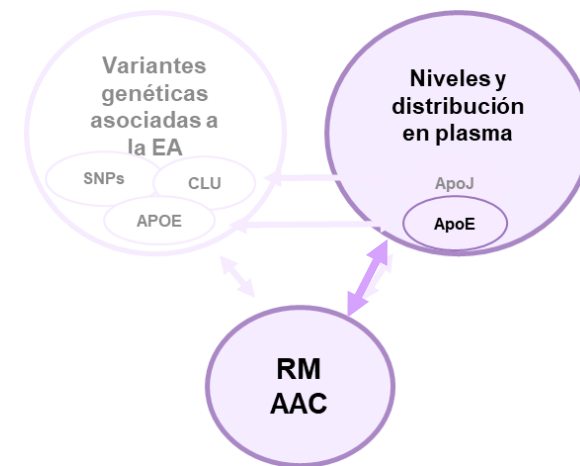
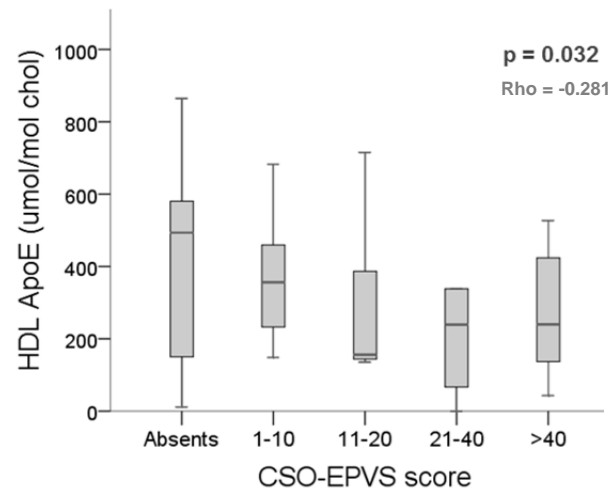
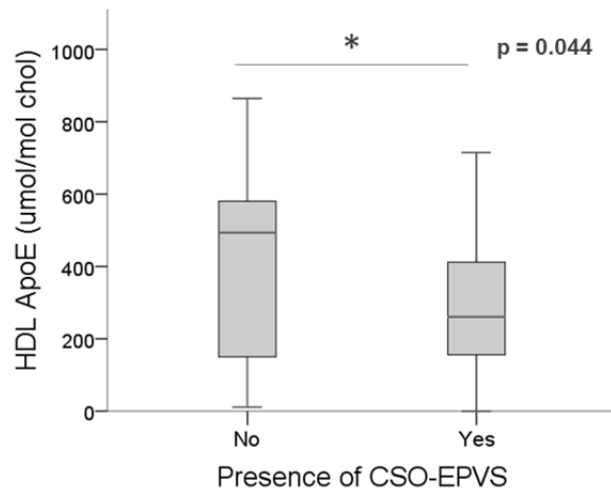
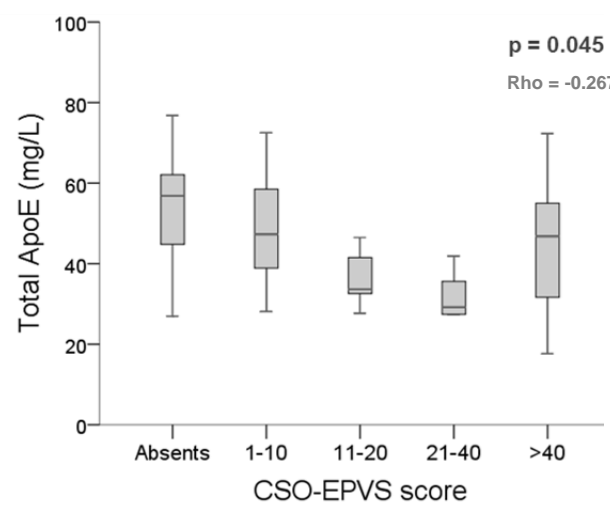
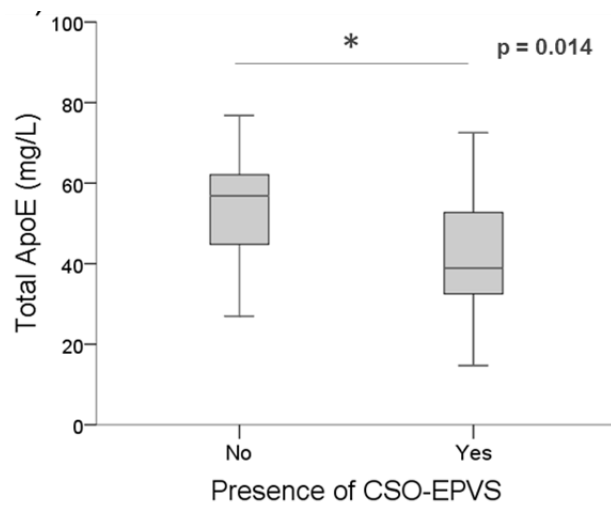
Fotiadis et al., 2020



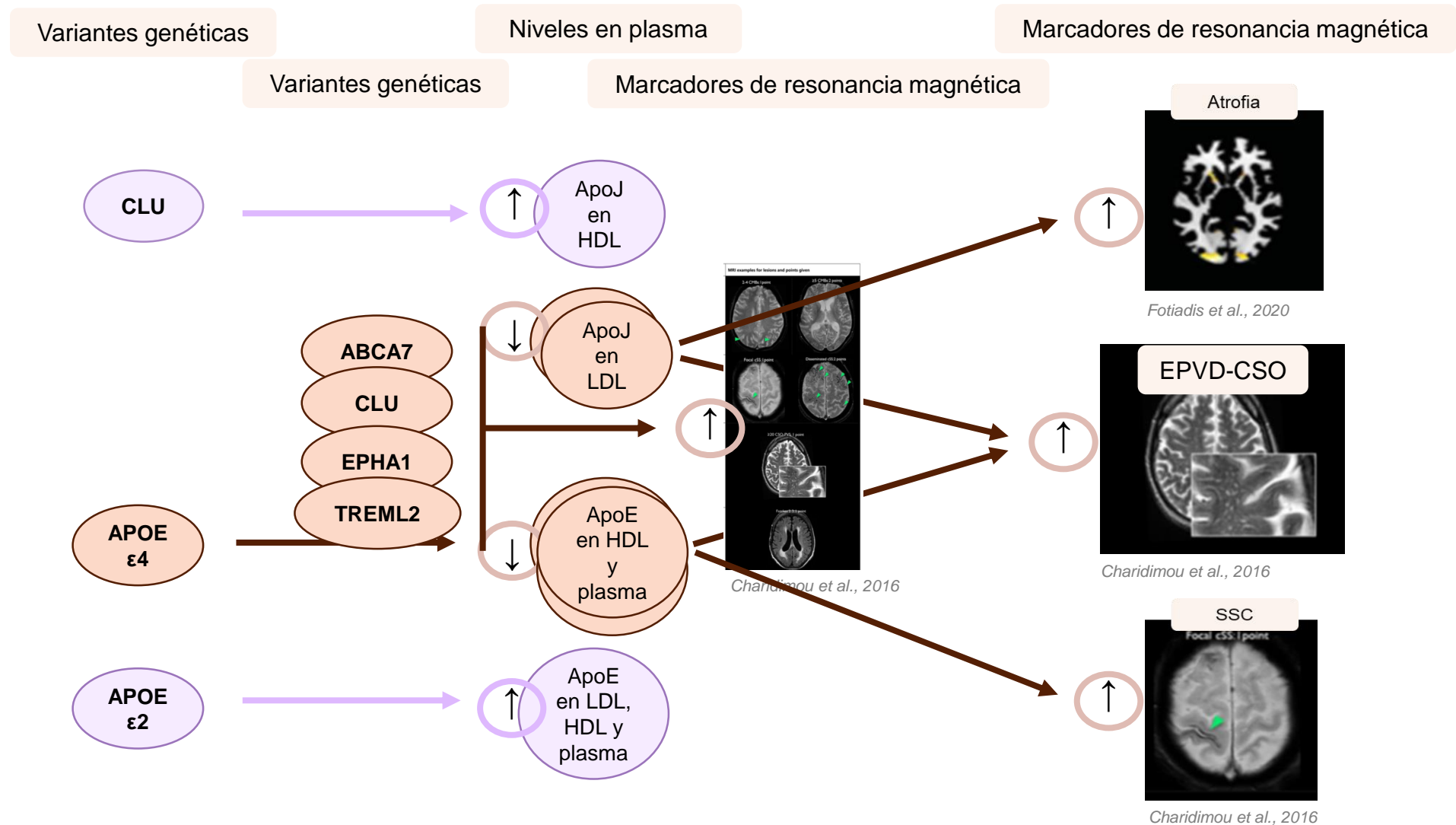
Niveles de ApoE circulante y marcadores de RM



Charidimou et al., 2016



Conclusiones



Este estudio refuerza la relevancia del metabolismo lipídico periférico en la AAC y la funcionalidad cerebrovascular.

MUCHAS GRACIAS!!

Cerebral Amyloidosis Group

Anna Bonaterra-Pastra
Berta Paez-Montserrat
Laia Fernandez
Anas Chaachou
Alex Ballvé
Mar Hernández-Guillamon

Former membres:
Paula Marazuela
Sofia Fernandez-de Retana



Neurovascular Research Lab Vall d'Hebron Institut de Recerca (VHIR)

Anna Rosell	Anna Penalba
Pilar Delgado	Paula García
Joan Montaner	Jesús Pizarro
Miguel Garcia	Marcel Lamana
Kerrie Adrián	Daisy Guamán
Júlia Valor	



José Luis Sánchez Quesada

Grupo de Bioquímica Cardiovascular Hospital Sant Pau Institut de Recerca (IIB Sant Pau)

Dra. Elena Martínez Saez
Jessica Camacho

Anatomía Patológica HUVH

Dr. David Rodríguez Luna
Olalla Pancorbo

Unidad Ictus, HUVH



RICORS-ICTUS

